

Kapitola 8

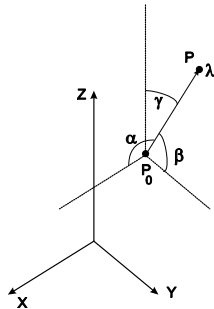
Základy vektorovej analýzy

Vo fyzike a matematike často pracujeme s veličinami, ktoré sú funkciami polohy. Ak každému bodu v priestore \vec{r} priradíme číslo $f(\vec{r})$ hovoríme, že v definovanom priestore je pole skalárnej veličiny f , ak bodom priradíme vektorovú funkciu

$$\vec{F}(\vec{r}) = F_x(x, y, z) \vec{i} + F_y(x, y, z) \vec{j} + F_z(x, y, z) \vec{k}$$

hovoríme o vektorových poliach. Môže ísť napríklad o teplotu v jednotlivých bodoch študovanej vzorky, alebo o rýchlosť prúdiacej kvapaliny v jednotlivých bodoch trubice. Skalárne a vektorové pole ktoré nezávisí explicitne na čase sa nazýva stacionárne. Vlastnosti polí je výhodné vyšetřovať metódami matematickej analýzy, ktorej základným pojmom je derivácia. Ide však skôr o derivácie smerové, umožňujúce analyzovať vlastnosti daného poľa v určitom smere.

Smerová derivácia Dôležitou charakteristikou skalárnych polí je rýchlosť zmeny funkcie poľa (napr. teploty) pri zmene polohy bodu P . Pre lepšiu názornosť analyzujeme skalárne pole teplôt T .



obr. VIII.1

Nech v čase $t = 0$ vyštartuje z bodu P_0 auto, ktoré sa začne pohybovať v smere lúča λ , rýchlosťou $v = 1 \frac{m}{s}$. Jeho poloha v čase t bude:

$$\begin{aligned} x &= x_0 + t \cos \alpha \\ y &= y_0 + t \cos \beta \\ z &= z_0 + t \cos \gamma \end{aligned}$$

Teleso za čas t prejde dráhu¹ $\Delta r = vt = t$. Teplota T sa tým zmenila z hodnoty $T(P_0)$ na hodnotu $T(P)$. Priemerná rýchlosť tejto zmeny je:

$$\begin{aligned} \bar{T} &= \frac{T(x_0 + t \cos \alpha, y_0 + t \cos \beta, z_0 + t \cos \gamma) - T(x_0, y_0, z_0)}{t} = \\ &= \frac{T(x_0 + t \cos \alpha, y_0 + t \cos \beta, z_0 + t \cos \gamma) - T(x_0, y_0, z_0)}{\Delta r} \end{aligned} \quad (8.1)$$

a okamžitá

$$\begin{aligned} &= \lim_{t \rightarrow 0} \bar{T} = \lim_{t \rightarrow 0} \frac{T(x_0 + t \cos \alpha, y_0 + t \cos \beta, z_0 + t \cos \gamma) - T(x_0, y_0, z_0)}{t} = \\ &= \lim_{\Delta r \rightarrow 0} \frac{T(x_0 + t \cos \alpha, y_0 + t \cos \beta, z_0 + t \cos \gamma) - T(x_0, y_0, z_0)}{\Delta r} = \end{aligned} \quad (8.2)$$

$$= \lim_{\Delta r \rightarrow 0} \frac{T(\vec{r} + \Delta \vec{r}) - T(\vec{r})}{\Delta r} \quad (8.3)$$

Uvedená rýchlosť nezávisí len od polohy bodu P_0 ale aj od smeru pohybu telesa a nazývame ju *smerová derivácia*. Ak by sa auto pohybovalo v smere osi x , za čas t prejde dráhu $\Delta x = 1t$. Limitným približovaním $\Delta x \rightarrow 0$ nájdeme okamžitú rýchlosť zmeny teploty v smere osi x :

$$\frac{\partial T}{\partial x} = \lim_{\Delta x \rightarrow 0} \frac{T(x_0 + \Delta x, y_0, z_0) - T(x_0, y_0, z_0)}{\Delta x} \quad (8.4)$$

Podobne pre smery y a z :

$$\frac{\partial T}{\partial y} = \lim_{\Delta y \rightarrow 0} \frac{T(x_0, y_0 + \Delta y, z_0) - T(x_0, y_0, z_0)}{\Delta y} \quad (8.5)$$

$$\frac{\partial T}{\partial z} = \lim_{\Delta z \rightarrow 0} \frac{T(x_0, y_0, z_0 + \Delta z) - T(x_0, y_0, z_0)}{\Delta z} \quad (8.6)$$

Posledné typy derivácií sa nazývajú *parciálne*. Ide vlastne o deriváciu podľa jednej premennej (ostatné premenné sú zafixované). Ak sa vrátíme k nášmu autu a budeme chcieť vypočítať zmenu celkovej teploty prostredia dT pri jeho premiestnení z bodu P_0 do P , môžeme postupovať nasledovne: najskôr teleso

¹Pre lepšiu prehľadnosť nebudeme písať jednotky. Ak však do ľubovoľného vzťahu dosadíme čísla v sústave SI, potom aj výsledná veličina vyjde v základných jednotkách SI.

posunieme v smere osi x o Δx , čomu zodpovedá zmena teploty o $dT_x = \frac{\partial T}{\partial x} \Delta x$, potom v smere y a nakoniec v smere osi z a tieto parciálne zmeny teplôt sčítame:

$$dT = \frac{\partial T}{\partial x} \Delta x + \frac{\partial T}{\partial y} \Delta y + \frac{\partial T}{\partial z} \Delta z \quad (8.7)$$

Celkovú zmenu dT nazývame totálnym diferenciálom funkcie dT .

Príklad 1 Teplota v priestore je daná formulou $T = 2x^3 + 4y - z$. Určte rýchlosť jej zmeny v smere osi x, y a z v ľubovoľnom bode priestoru

Riešenie: Pre rýchlosť zmeny v jednotlivých smeroch platí: $\frac{\partial T}{\partial x} = 6x^2$, $\frac{\partial T}{\partial y} = 4$, $\frac{\partial T}{\partial z} = -1$ \diamond

Vo fyzike sa často stretávame s funkciami viacerých premenných, pričom to nemusia byť nevyhnutne súradnice x, y, z . Ak chceme napr. určiť odpor rezistora R pomocou Ohmovho zákona $R(U, I) = \frac{U}{I}$ potom chybu, ktorej sa pri meraní dopustíme, môžeme vypočítať na základe analógie so vzťahom (8.7):

$$dR = \frac{\partial R}{\partial I} \Delta I + \frac{\partial R}{\partial U} \Delta U$$

Príklad 2 Doba kmitu matematického kyvadla sa počíta podľa vzťahu $T = 2\pi \sqrt{\frac{l}{g}}$. Určte, ako sa zmení doba kmitu kyvadla, ak sa jeho dĺžka zmenila o $\Delta l = a$ a tiažové zrýchlenie dôsledkom zmeny nadmorskej výšky o $\Delta g = b$?

Riešenie: Pretože hodnoty a a b považujeme za dostatočne malé, potom zmenu doby kmitu stotožníme s diferenciálom funkcie T :

$$\Delta T \approx dT = \frac{\partial T}{\partial l} \Delta l + \frac{\partial T}{\partial g} \Delta g$$

Po vykonaní parciálnych derivácií:

$$\Delta T = \frac{\pi}{\sqrt{lg}} \left(a - \frac{l}{g} b \right) \quad \diamond$$

Príklad 3 Vypočítajte približnú hodnotu výrazu $b = 0,97^{2,02}$

Riešenie: Uvažujme funkciu dvoch premenných $f(x_1, x_2) = (x_1)^{x_2}$ v bode $[1, 2]$. Hodnota tejto funkcie sa pri zmene $\Delta x_1 = -0,03$ a $\Delta x_2 = 0,02$ zmení približne o (8.7):

$$df = \frac{\partial f}{\partial x_1} \Delta x_1 + \frac{\partial f}{\partial x_2} \Delta x_2 = x_2 x_1^{x_2-1} \Delta x_1 + x_1^{x_2} \ln x_1 \Delta x_2 \sim 0,06$$

a teda:

$$b \sim f(1, 2) + df = 1 - 0,06 = 0,94 \quad \diamond$$

8.1 Charakteristiky skalárnych a vektorových polí.

V nasledovných odstavcoch budeme vyšetrovať vlastnosti skalárnych a vektorových polí pomocou operácií gradientu, divergencie a rotácie.

8.1.1 Ekviskalárne plochy (čiar) a gradienty skalárnych polí

Skalárne polia f zobrazujeme pomocou ekviskalárnych plôch (čiar), ktoré spájajú body s rovnakou hodnotou funkcie f :

$$f(x, y, z) = \text{konšt}$$

Rozdiel medzi každými dvoma susednými plochami si volíme zvyčajne konštantný a vhodný na prehľadné zobrazovanie polia. Ekviskalárne plochy sa vzájomne nepretínajú, ale môžu mať rôzne geometrické tvary.

Príklad 4 Nájdite ekviskalárne plochy potenciálu bodového náboja.

Riešenie: Pre potenciál platí $V = -\chi \frac{m}{r}$ a ekviskalárne plochy budú guľové. \diamond

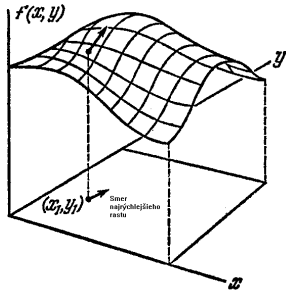
Ak v priestore posunieme teleso z bodu \vec{r} o vektor $d\vec{r} = (dx, dy, dz)$, potom sa skalárna veličina zmení o dT (8.7), čo zapíšme pomocou skalárneho súčinu:

$$dT = \left(\frac{\partial T}{\partial x}, \frac{\partial T}{\partial y}, \frac{\partial T}{\partial z} \right) \cdot d\vec{r} = \nabla T \cdot d\vec{r} \quad (8.8)$$

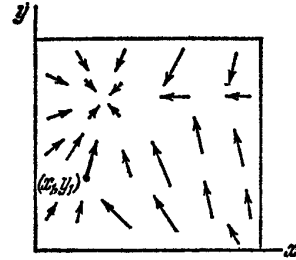
Výraz v zátvorke je vektor, ktorý budeme nazývať gradient poľa T

$$\text{grad } T \equiv \frac{\partial T}{\partial x} \vec{i} + \frac{\partial T}{\partial y} \vec{j} + \frac{\partial T}{\partial z} \vec{k} \quad (8.9)$$

Získame ho aplikovaním "nabla" operátora $\vec{\nabla} = \left(\frac{\partial}{\partial x}, \frac{\partial}{\partial y}, \frac{\partial}{\partial z} \right)$ na príslušnú skalárnu funkciu. Gradient vyjadruje smer *najväčšieho nárastu skalárnej funkcie* $\frac{dT}{|d\vec{r}|}$



obr. VIII.2a



obr. VIII.2b

Vidieť to priamo zo vzťahu (8.8):

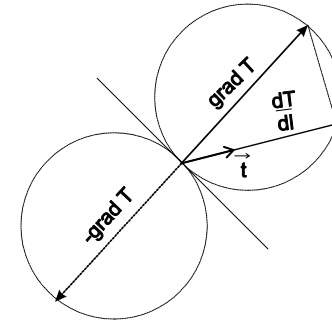
$$\frac{dT}{|d\vec{r}|} = |\nabla T| \cos \varphi \quad (8.10)$$

podľa ktorého funkcia najrýchlejšie rastie, keď $\cos \varphi = 1$, čo znamená $d\vec{r} \parallel \text{grad } T^2$. Ďalšou významnou vlastnosťou je *kolmosť gradientu na ekviskalárne plochy*. Hodnota funkcie na týchto plochách je konštantná $\Rightarrow dT = 0 \Rightarrow \nabla T \cdot d\vec{r} \equiv 0 \Rightarrow \nabla T \perp d\vec{r}$. Pri infinitenzimálnom posune $|d\vec{r}| \rightarrow 0$, ľavá strana rovnice (8.3) je totožná s (8.10) a vyjadruje smerovú deriváciu.

$$\frac{dT}{ds} = \text{grad } T \cdot \vec{t}(s) \quad (8.11)$$

kde \vec{t} určuje smer, v ktorom sa derivácia počíta.

²Na obr. VIII.2a je pre ilustráciu znázornená funkcia dvoch premenných $f(x, y)$, ktorá je reprezentovaná plochou. Na obr. VIII.2b sú znázornené vektory $\left(\frac{\partial f(x, y)}{\partial x}, \frac{\partial f(x, y)}{\partial y} \right)$ zobrazujúce smer najrýchlejšej zmeny skalárnej funkcie $f(x, y)$.



obr. VIII.3

Pre operátor $\vec{\nabla}$ platia podobné matematické operácie ako pre deriváciu skalárnych funkcií³:

$$\vec{\nabla} (f_1 + f_2) = \vec{\nabla} f_1 + \vec{\nabla} f_2 \quad (8.12)$$

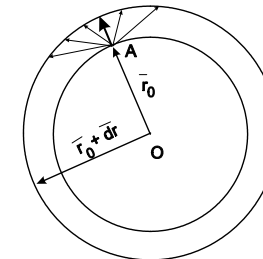
$$\vec{\nabla} (f_1 f_2) = f_1 \vec{\nabla} f_2 + f_2 \vec{\nabla} f_1 \quad (8.13)$$

$$\vec{\nabla} \left(\frac{f_1}{f_2} \right) = \frac{1}{f_2^2} (f_2 \vec{\nabla} f_1 - f_1 \vec{\nabla} f_2) \quad (8.14)$$

Vo fyzike sa často stretujeme so sféricko-symetrickými poľami, ktoré majú tú vlastnosť, že skalárna funkcia závisí len od veľkosti polohového vektora \vec{r} . Pre gradient $f(r)$ potom platí⁴:

$$\vec{\nabla} f(r(x, y, z)) = \left[\frac{df}{dr} \frac{\partial r}{\partial x}, \frac{df}{dr} \frac{\partial r}{\partial y}, \frac{df}{dr} \frac{\partial r}{\partial z} \right] = \frac{df}{dr} \left[\frac{x}{r}, \frac{y}{r}, \frac{z}{r} \right] = \frac{df}{dr} \vec{r} \quad (8.15)$$

Výsledok je logický. Ekviskalárne plochy sú guľové. Nech sfére s polomerom r_0 zodpovedá konštantná hodnota $f(r_0)$ a sfére so niečo väčším polomerom $r_0 + dr$ hodnota $f(r_0 + dr)$. (obr. VIII.4)



obr. VIII.4

³operátor je lineárny

⁴Uvedomme si že vektor $\vec{r} = (x, y, z)$ má veľkosť $r = \sqrt{x^2 + y^2 + z^2}$ a skutočnosť $\frac{\partial}{\partial x} r = \frac{\partial}{\partial x} \left(\sqrt{x^2 + y^2 + z^2} \right) = \frac{x}{r}$, podobne $\frac{\partial}{\partial y} r = \frac{y}{r}$ a $\frac{\partial}{\partial z} r = \frac{z}{r}$. Pri výpočte využime pravidlá o derivovaní zloženej funkcie.

Smer najrýchlejšej zmeny funkcie f musí byť totožný so smerom polohového vektora \vec{r} a jej veľkosť je $\frac{df}{dr}$.

Využitie gradientov vo fyzike:

Určenie silového poľa z potenciálov. V kapitole krivkové integrály sme zavádzali vzťah pre výpočet práce v konzervatívnych poliach (8.8):

$$A = \int_{\vec{r}_1}^{\vec{r}_2} \vec{F} \cdot d\vec{T} = U(\vec{r}_1) - U(\vec{r}_2) = \int_{\vec{r}_1}^{\vec{r}_2} -dU \quad (8.16)$$

Podľa (8.8):

$$\int_{\vec{r}_1}^{\vec{r}_2} \vec{F} \cdot d\vec{T} = \int_{\vec{r}_1}^{\vec{r}_2} -dU = \int_{\vec{r}_1}^{\vec{r}_2} -\nabla U \cdot d\vec{r} \quad (8.17)$$

$$\vec{F} = -\text{grad}U \quad (8.18)$$

Pole potenciálnej energie $U(\vec{r})$ obsahuje všetku informáciu o sile \vec{F} . Záporné znamienko vystupujúce v tejto rovnici vyjadruje, že sila v danom poli pôsobí na teleso tak, aby čo najrýchlejšie klesla jeho potenciálna energia.

Príklad 5 Nájdite silu pôsobiacu v gravitačnom poli:

Riešenie: Pre potenciálnu energiu $U = -\chi \frac{mM}{r}$, $\vec{F} = -\text{grad}U$. Skalárne pole je sféricky symetrické, takže podľa (8.15) $\vec{F} = -\text{grad}U = -\chi \frac{mM}{r^2} \frac{\vec{r}}{r}$. \diamond

Vzťah (8.17) sa dá použiť aj opačne:

Príklad 6 Nájdite potenciálnu energiu vektorového poľa $\vec{F} = (2y, 2x + 3z, 3y)$

Riešenie: Dosadením do (8.17) získame trojicu parciálnych diferenciálnych rovníc:

$$\begin{aligned} 2y &= -\frac{\partial}{\partial x} U &\Rightarrow U &= -2yx + c_1(y, z) \\ 2x + 3z &= -\frac{\partial}{\partial y} U &\Rightarrow U &= -2xy - 3zy + c_2(x, z) \\ 3y &= -\frac{\partial}{\partial z} U &\Rightarrow U &= -3yz + c_3(x, y) \end{aligned}$$

Vo všetkých troch riadkoch je tá istá funkcia U a preto

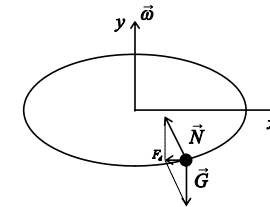
$$U = -3yz - 2xy + \text{konš} \quad \diamond$$

Určovanie rovnovážnych polôh pomocou Lagrangeových funkcií prvého druhu. Kolmost' gradientu na ekviskalárne plochy sa dá výhodne použiť pri hľadaní rovnovážnych polôh telies, viazaných určitými väzbami.

Príklad 7 Pohyb guľičky je viazaný na elipsu s poloosami a, b :

$$\frac{x^2}{a^2} + \frac{y^2}{b^2} = 1 \quad (8.19)$$

ktorá sa otáča okolo zvislej osi uhlovou rýchlosťou ω . Nájdite rovnovážnu polohu guľičky.



obr. VIII.5

Riešenie: Vyšetrujme pohyb guľičky z hľadiska neinerciálnej vzťažnej sústavy, v ktorej je teleso v rovnováhe. Na guľičku pôsobia tri sily: gravitačná $\vec{G} = (0, -mg)$ tlaková sila drôtu \vec{N} , a odstredivá $\vec{F}_d = (m\omega^2 x, 0)$, kde x zodpovedá aktuálnemu polomeru krivosti dráhy, po ktorej sa otáča guľička. Ak zadefinujeme v priestore potenciálnu funkciu U :

$$U(x, y) = \frac{x^2}{a^2} + \frac{y^2}{b^2} - 1 \quad (8.20)$$

potom elipsu (8.19) možno považovať za ekviskalárnu krivku s hodnotou $U = 0$, na ktorú musí byť vektor \vec{N} kolmý. Má smer gradientu:

$$\vec{N} = \lambda \text{grad}U = \lambda \left(\frac{2x}{a^2}, \frac{2y}{b^2} \right)$$

Z podmienky rovnováhy $\vec{F} = \vec{0}$ vyplýva:

$$\lambda \frac{2x}{a^2} + m\omega^2 x = 0 \quad (8.21)$$

$$\lambda \frac{2y}{b^2} - mg = 0 \quad (8.22)$$

Riešením (8.20), (8.21), (8.22) získavame dva korene

$$\begin{aligned} x_1 &= 0 & y_1 &= \pm b \\ x_2 &= \pm \sqrt{1 - \frac{y^2}{b^2}} a & y_2 &= -\frac{b^2}{a^2} \frac{g}{\omega^2} \end{aligned} \quad (8.23)$$

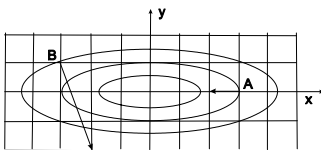
Prvý koreň udáva síce rovnovážnu, ale nestabilnú polohu. \diamond

Príklad 8 Predstavte si, že nadmorská výška kopca je daná funkciou $h(x, y) = 5 \exp[-x^2 - 9y^2]$. Nájdite kolmé vektory k vrstevniciam v bodoch so súradnicami $A = [3, 0]$, $B = [-3, 1]$

Riešenie: Vrstevnice sú také krivky, pre ktoré $h(x, y) = 5 \exp[-x^2 - 9y^2] = \text{const.}$ Tento vzťah je možné upraviť na rovnicu elipsy: $(\frac{x}{3})^2 + y^2 = \text{const.}$ Kolmice k vrstevniciam v ľubovoľnom bode sú

$$\vec{n} = \text{grad } h = \left(\frac{\partial h}{\partial x}, \frac{\partial h}{\partial y} \right) = 5 \exp[-x^2 - 9y^2] (-2x, -18y) \sim (-x, -9y)$$

Nepodstatné konštanty sme vynechali, pretože menia veľkosti vektorov a nie ich smery. $\vec{n}_A \sim (-1, 0)$, $\vec{n}_B \sim (1, -3)$

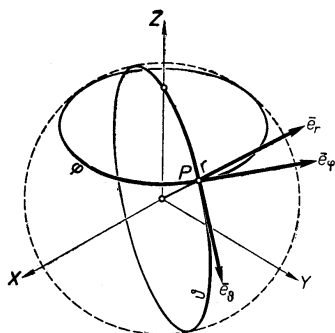


obr. VIII.6

◇

Niekedy je vhodné vyjadriť operátor gradientu v inej súradnicovej sústave ako v kartézkej. Gradient je vektor invariantný vzhľadom na voľbu súradnicovej sústavy. Stačí preto nájsť jeho zložky v nových bázach. Podľa rovnice (8.11) smerová derivácia zodpovedá priemetu gradientu do smeru jednotkového vektora \vec{t} . Ak zvolíme krivku, ktorej vektor \vec{t} bude totožný s bázovým vektorom, potom smerová derivácia zodpovedá práve zložkám gradientu v nových bázach.

sférická súradnicová sústava:



obr. VIII.7

$$\begin{aligned} (\text{grad } U)_\varphi &= \left(\frac{dU}{ds} \right)_{r=\text{konšt}, \vartheta=\text{konšt}} = \lim_{\Delta\varphi \rightarrow 0} \frac{U(r, \varphi + \Delta\varphi, \vartheta) - U(r, \varphi, \vartheta)}{r \sin \vartheta \Delta\varphi} = \\ &= \frac{1}{r \sin \vartheta} \lim_{\Delta\varphi \rightarrow 0} \frac{U(r, \varphi + \Delta\varphi, \vartheta) - U(r, \varphi, \vartheta)}{\Delta\varphi} = \frac{1}{r \sin \vartheta} \frac{\partial U}{\partial \varphi} \\ (\text{grad } U)_r &= \left(\frac{dU}{ds} \right)_{\varphi=\text{konšt}, \vartheta=\text{konšt}} = \lim_{\Delta r \rightarrow 0} \frac{U(r + \Delta r, \varphi, \vartheta) - U(r, \varphi, \vartheta)}{\Delta r} = \\ &= \frac{\partial U}{\partial r} \\ (\text{grad } U)_\vartheta &= \left(\frac{dU}{ds} \right)_{\varphi=\text{konšt}, r=\text{konšt}} = \lim_{\Delta\vartheta \rightarrow 0} \frac{U(r, \varphi, \vartheta + \Delta\vartheta) - U(r, \varphi, \vartheta)}{r \Delta\vartheta} = \\ &= \frac{1}{r} \lim_{\Delta\vartheta \rightarrow 0} \frac{U(r, \varphi + \Delta\varphi, \vartheta) - U(r, \varphi, \vartheta)}{\Delta\vartheta} = \frac{1}{r} \frac{\partial U}{\partial \vartheta} \\ \text{grad } U &= \frac{1}{r \sin \vartheta} \frac{\partial U}{\partial \varphi} \vec{e}_\varphi + \frac{\partial U}{\partial r} \vec{e}_r + \frac{1}{r} \frac{\partial U}{\partial \vartheta} \vec{e}_\vartheta \end{aligned} \quad (8.24)$$

Analogickým spôsobom by sme dosiahli nasledovné vzťahy:

cylindrická sústava

$$\text{grad } U = \frac{1}{r} \frac{\partial U}{\partial \varphi} \vec{e}_\varphi + \frac{\partial U}{\partial r} \vec{e}_r + \frac{\partial U}{\partial z} \vec{e}_z \quad (8.25)$$

polárna sústava

$$\text{grad } U = \frac{1}{r} \frac{\partial U}{\partial \varphi} \vec{e}_\varphi + \frac{\partial U}{\partial r} \vec{e}_r \quad (8.26)$$

Zložky gradientu do jednotlivých smeroch sme mohli získať využitím vlastnosti skalárneho súčinu:

Ak $\vec{\nabla} U = \vec{\nabla}_r \vec{e}_r + \vec{\nabla}_\varphi \vec{e}_\varphi$ potom

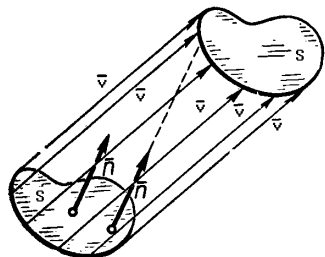
$$\begin{aligned} \nabla_r U &= \vec{\nabla} U \cdot \vec{e}_r = \left(\frac{\partial U}{\partial x} \vec{i} + \frac{\partial U}{\partial y} \vec{j} \right) \cdot (\cos \varphi \vec{i} + \sin \varphi \vec{j}) = \frac{\partial U}{\partial x} \cos \varphi + \frac{\partial U}{\partial y} \sin \varphi = \\ &= \left(\frac{\partial U}{\partial r} \frac{\partial r}{\partial x} + \frac{\partial U}{\partial \varphi} \frac{\partial \varphi}{\partial x} \right) \cos \varphi + \left(\frac{\partial U}{\partial r} \frac{\partial r}{\partial y} + \frac{\partial U}{\partial \varphi} \frac{\partial \varphi}{\partial y} \right) \sin \varphi = \frac{\partial U}{\partial r} \end{aligned}$$

Analogicky pre druhú zložku:

$$\nabla_\varphi = \vec{\nabla} U \cdot \vec{e}_\varphi = \left(\frac{\partial U}{\partial x} \vec{i} + \frac{\partial U}{\partial y} \vec{j} \right) \cdot (-\sin \varphi \vec{i} + \cos \varphi \vec{j}) = \dots = \frac{1}{r} \frac{\partial U}{\partial \varphi}$$

8.1.2 Divergencia vektorových polí

Divergencia patrí medzi základné pojmy teórie polí a jej geometrický význam si vysvetlíme pomocou hydrodynamickej analógie. Budeme vyšetřovať tok kvapaliny v potoku a každému bodu priradíme vektor jej rýchlosti \vec{v} .



obr. VIII.8

Do kvapaliny umiestnime infinitenzimálnu plochu dS s normálou \vec{n} .⁵ Cez túto plochu za čas dt pretečie taký objem kvapaliny dV , ktorý sa rovná objemu šikmého valca s rovnobežnými podstavami⁶:

$$\begin{aligned} dV &= dS v dt \cos \varphi \\ \frac{dV}{dt} &= d\vec{S} \cdot \vec{v} \end{aligned} \quad (8.27)$$

Ak je uhol φ ⁷ je ostrý, hodnoty dV sú kladné a kvapalina vteká cez plochu do valca, ak je uhol φ tupý, hodnoty sú záporné a kvapalina vyteká cez plochu. Pri komplikovanejších a väčších plochách Σ , na ktorých vektor \vec{v} nie je konštantný, celkové množstvo pretečenej kvapaliny za jednotku času dostaneme integrovaním:

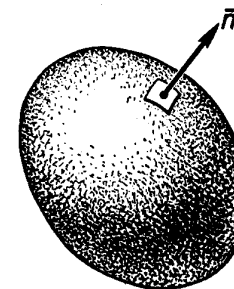
$$\frac{dV}{dt} = \iint_{\Sigma} d\vec{S} \cdot \vec{v} \quad (8.28)$$

Veličinu (8.28) nazveme tokom vektora \vec{v} cez plochu Σ . Predpokladajme, že v potoku sa nachádza bod P_0 , ktorý obklopíme uzavretou plochou σ . Elementárne vektory $d\vec{S}$ orientujeme v smere vonkajších normál.

⁵V ďalšom texte budeme pracovať s vektorom plochy $d\vec{S}$, ktorého veľkosť je rovná danej ploche a je orientovaný v smere normály \vec{n}

⁶Valec má výšku $v dt \cos \varphi$, pričom φ je uhol medzi vektorom rýchlosti \vec{v} a normálou \vec{n} na plochu dS

⁷ φ je uhol medzi normálou na plochu a vektorom rýchlosti \vec{v} .



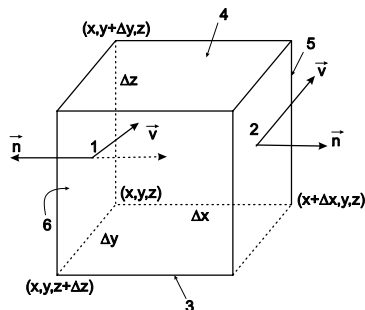
obr. VIII.9

Ak do objemu V_{Σ} ohraničeného plochou Σ vtečie za jednotku času rovnaké množstvo kvapaliny ako z nej vytečie, potom tok bude nulový. Ak sa však v uzavretom objeme nachádza zdroj kvapaliny (napr. prameň, topiaca sa ľadová kryha) potom cez plochu pretečie za jednotku času viac kvapaliny ako pritečie a tok bude kladný. Z uvedeného vyplýva, že tok poľa cez limitný objem V_{Σ} by mohol v teórii polí reprezentovať užitočnú veličinu, ktorá by poskytovala informáciu, či v danom bode je zdroj (zriedlo) kvapaliny alebo nie je⁸. Zavedme takúto veličinu a nazvime ju divergencia:

$$\operatorname{div} \vec{v} = \lim_{V_{\Sigma} \rightarrow 0} \frac{1}{V_{\Sigma}} \oint_{\Sigma} d\vec{S} \cdot \vec{v} \quad (8.29)$$

Polia, pre ktoré $\operatorname{div} \vec{v} > 0$, sa nazývajú zriedlové, polia s $\operatorname{div} \vec{v} < 0$ sú norové a pre $\operatorname{div} \vec{v} = 0$ sú bezzriedlové. Definícia divergencie je síce názorná, ale neumožňuje priamy výpočet. Počítanie takejto limity je nepraktické a preto sa pokúsime nájsť jednoduchší spôsob. Pri limitnom znižovaní objemu V sa postupne stráca rozdiel medzi rôznymi počiatočnými tvarmi objemových útvarov V . Zoberme preto špeciálny prípad infinitenzimálnej kvádra podľa obrázka VIII.10 a vypočítajme tok cez jej povrch.

⁸Limitným znižovaním objemu V_{Σ} sa dostaneme k bodu P_0



obr. VIII.10

Dostaneme ho spočítaním tokov cez každú zo šiestich stien. najprv uvažujme o protiľahlých stenách 1 a 2⁹:

$$\begin{aligned} N_{1,2} &= \iint_2 d\vec{S} \cdot \vec{v} + \iint_1 d\vec{S} \cdot \vec{v} & (8.30) \\ &= \left[v_x \left(x + \Delta x, y + \frac{\Delta y}{2}, z + \frac{\Delta z}{2} \right) - v_x \left(x, y + \frac{\Delta y}{2}, z + \frac{\Delta z}{2} \right) \right] \cdot \Delta y \Delta z & (8.31) \end{aligned}$$

Predelením rovnice Δx a vykonaním limitného prechodu $\Delta x \rightarrow 0$, výraz v hranatej zátvorke zodpovedá parciálnej derivácii:

$$\iint_{1,2} d\vec{S} \cdot \vec{v} = \frac{\partial v_x}{\partial x} \Delta x \Delta y \Delta z \quad (8.32)$$

Zopakovaním postupu pre ostatné páry stien pre celkový tok dostaneme výraz¹⁰:

$$\oint_{\text{kváder}} d\vec{S} \cdot \vec{v} = \left[\frac{\partial v_x}{\partial x} + \frac{\partial v_y}{\partial y} + \frac{\partial v_z}{\partial z} \right] \Delta x \Delta y \Delta z \quad (8.33)$$

$$\lim_{V \rightarrow 0} \frac{1}{V} \oint_{\text{kváder}} d\vec{S} \cdot \vec{v} = \left[\frac{\partial v_x}{\partial x} + \frac{\partial v_y}{\partial y} + \frac{\partial v_z}{\partial z} \right] \quad (8.34)$$

Porovnaním (8.34) s definíciou divergencie (8.29) je zřejmé, že pre zavedenú veličinu-divergenciu platí:

$$\text{div } \vec{v} = \left[\frac{\partial v_x}{\partial x} + \frac{\partial v_y}{\partial y} + \frac{\partial v_z}{\partial z} \right] = \nabla \cdot \vec{v} \quad (8.35)$$

⁹Pretože uvažujeme o malom kvádre, môžeme hodnoty vektorov na stenách aproximovať hodnotami v strede kocky. Pre prvú stenu platí: $\vec{v} = [v_x(1), v_y(1), v_z(1)]$, $d\vec{S} = (-\Delta y \Delta z, 0, 0)$, pre druhú stenu: $\vec{v} = [v_x(2), v_y(2), v_z(2)]$, $d\vec{S} = (\Delta y \Delta z, 0, 0)$. Vektory plochy sú orientované von z objemu.

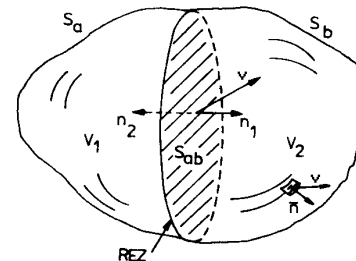
¹⁰Objem kvádra $\Delta x \Delta y \Delta z = dV$

Príklad 9 Rýchlosť kvapaliny v rieke sa mení podľa rovnice $\vec{v} = (3x^2, 2x+y, z)$. Ak dosadíte súradnice x, y, z v metroch, rýchlosť výjde v $m s^{-1}$. Nájdite také miesto v potoku, v ktorom nie je žriedlo kvapaliny

Riešenie: Kvapalina nemá žriedlo v tých miestach, pre ktoré $\text{div } \vec{v} = 0$:

$$\begin{aligned} \nabla \cdot \vec{v} &= \left[\frac{\partial v_x}{\partial x} + \frac{\partial v_y}{\partial y} + \frac{\partial v_z}{\partial z} \right] = 6x + 2 = 0 \\ x &= -\frac{1}{3} m \end{aligned}$$

Majme uzavretú plochu S , ktorá ohraničuje objem V . Rozdeľme objem V ľubovoľným rezom na dve časti.



obr. VIII.11

Dostaneme tak dve uzavreté plochy a dva objemy. Objem $V_1(V_2)$ ohraničuje plocha $S_1(S_2)$, ktorá pozostáva z časti pôvodnej plochy $S_a(S_b)$ a z plochy rezu $S_{ab}(S_{ba})$. Sčítaním tokov cez parciálne plochy S_1 a S_2 zistíme, že tok cez pôvodnú plochu S^{11} je rovný sume tokov cez plochy parciálne:

$$\begin{aligned} &\iint_{S_a} d\vec{S}_1 \cdot \vec{v} + \iint_{S_{ab}} d\vec{S}_1 \cdot \vec{v} + \iint_{S_b} d\vec{S}_2 \cdot \vec{v} + \iint_{S_{ba}} d\vec{S}_2 \cdot \vec{v} & (8.36) \\ &= \oint_S d\vec{S} \cdot \vec{v} & (8.37) \end{aligned}$$

Ľubovoľný útvar sa dá vytvoriť naskladaním parciálnych uzavretých plôch v tvare infinitenzimálnych kociek:

$$\begin{aligned} \oint_S d\vec{S} \cdot \vec{v} &= \sum_i \oint_{\text{kocka}} d\vec{S} \cdot \vec{v} = \sum_i \text{div } \vec{v} dV_i = \iiint \text{div } \vec{v} dV \\ \oint_S d\vec{S} \cdot \vec{v} &= \iiint \text{div } \vec{v} dV & (8.38) \end{aligned}$$

Rovnica (8.38) sa nazýva **Gaussova veta**. \diamond

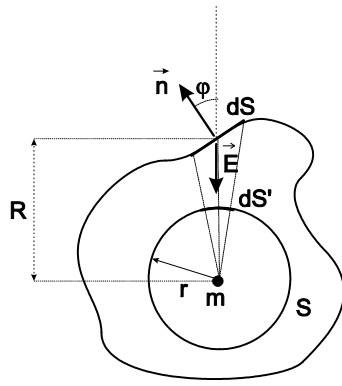
¹¹Všimnite si, že v oblasti rezu $d\vec{S}_1 = -d\vec{S}_2$ a preto $\iint_{S_{ab}} d\vec{S}_1 \cdot \vec{v} = -\iint_{S_{ba}} d\vec{S}_2 \cdot \vec{v}$. Pripomíname, že plošné elementy pri uzavretých plochách sú orientované von z telesa

Gaussov zákon. Skúmame tok intenzity gravitačného poľa uzavretou plochou S .

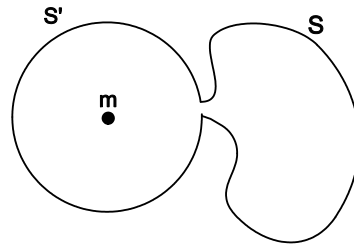
- i) Umiestnime do stredu guľovej plochy s polomerom r hmotný bod s hmotnosťou m a vypočítajme tok¹²:

$$\oint_S \vec{E} \cdot d\vec{S} = \oint_S \kappa \frac{m}{r^2} dS = \kappa \frac{m}{r^2} \oint_S dS = -\kappa 4\pi m \quad (8.39)$$

- ii) Ak plocha má všeobecný tvar S , potom obklopíme hmotný bod guľovou plochou S' s takým polomerom, aby celá bola vo vnútri objemu (obr. VIII.12a). Spojme čiarami hmotný bod s okrajmi infinitesimalnej plochy dS . Vzniknutý kužeľ vytne na guľovej ploche S' element dS' . Tok plochou dS je $d\Phi = \vec{E}(R) \cdot d\vec{S} = E(R) dS \cos \varphi$, tok cez plochu dS' bude $d\Phi' = E(r) dS'$, pritom $\frac{E(r)}{E(R)} = \frac{R^2}{r^2}$ a $\frac{dS'}{dS} = \frac{r^2 \cos \varphi}{R^2}$. Vzájomným porovnaním vyplynie: $d\Phi = d\Phi'$ a preto celkové toky cez obe plochy sú rovnaké: $\Phi = \kappa 4\pi m$



obr. VIII.12a



obr. VIII.12b

- iii) Výsledok nemožno ešte automaticky použiť pre prípad, keď hmotný bod je umiestnený mimo plochy S . Použijeme pomocnú guľovú plochu S' s takým polomerom, aby sa obe plochy takmer dotýkali (obr. VIII.12b). Podľa predchádzajúcich analýz tok plochou $S+S'$ ako aj dielčou plochou S' bude rovný $\Phi = \kappa 4\pi m$, tok spojovacou časťou možno zanedbať. Tok plochou S je teda nulový.

- iv) Zovšeobecnieme tieto výsledky pre ľubovoľné rozmiestnenie a počty hmotných bodov. Výsledná intenzita na ploche S bude určená superpozíciou

¹² \vec{E} je vektor intenzity a smeruje do stredu zeme: $\vec{E} \cdot \vec{S}$

intenzít od jednotlivých hmotných bodov:

$$\Phi = \oint_S (\vec{E}_1 + \vec{E}_2 + \dots + \vec{E}_N) \cdot d\vec{S} = -\kappa 4\pi \sum m_i \quad (8.40)$$

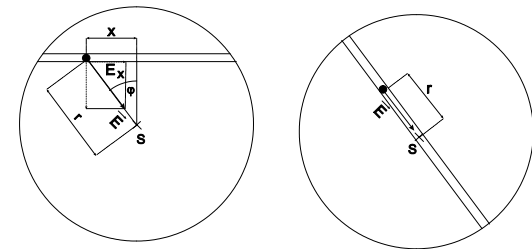
Tok teda závisí iba od celkovej hmotnosti pod integračnou plochou.

Príklad 10 Vypočítajte intenzitu gravitačného poľa vo vnútri Zeme. Predpokladajte, že jej hustota je konštantná. Do Zeme sme vyvrtali dva tunely, jeden "vodorovný" a druhý prechádzajúci cez jej stred (obr. VIII.13). Pustili sme do nich telesá, ktoré začali vykonávať harmonický pohyb. Porovnajme ich periódy.

Riešenie: Pole je sféricky symetrické, preto množina bodov s rovnakou hodnotou intenzity bude mať tvar guľových plôch. Vypočítajme tok cez takéto plochy a použijeme Gaussov zákon:

$$\begin{aligned} \Phi &= \oint_{\text{guľa}} \vec{E} \cdot d\vec{S} = -\kappa 4\pi \rho \frac{4}{3} \pi r^3 \\ E 4\pi r^2 &= \kappa 4\pi \rho \frac{4}{3} \pi r^3 \\ E &= \frac{4}{3} \kappa \rho r \end{aligned}$$

Intenzita gravitačného poľa vo vnútri Zeme sa mení so vzdialenosťou od jej stredu lineárne. Napíšme pohybovú rovnicu v smere osi x , najskôr pre guľičku, ktorá sa nachádza vo "vodorovnom" tuneli:



obr. VIII.13

$$\begin{aligned} m\ddot{x} &= -m \frac{4}{3} \kappa \rho r \sin \varphi = -m \frac{4}{3} \kappa \rho r \frac{x}{r} \\ \ddot{x} &= -\frac{4}{3} \kappa \rho x \end{aligned}$$

čo zodpovedá harmonickému pohybu s uhlovou frekvenciou $\omega = \sqrt{\frac{4}{3}\varepsilon\pi\rho}$ a periódou:

$$T = \frac{2\pi}{\omega} = \frac{2\pi}{\sqrt{\frac{4}{3}\varepsilon\pi\rho}}$$

Ak tunel bude prechádzať cez stred zeme, potom pohybová rovnica:

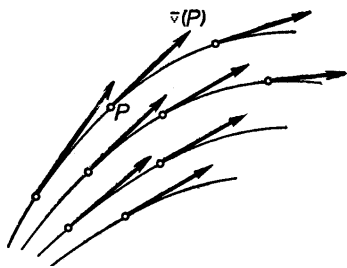
$$m\ddot{r} = -m\frac{4}{3}\varepsilon\pi\rho r$$

a pohyb bude opäť harmonický, s rovnakou periódou:

$$T = \frac{2\pi}{\omega} = \frac{2\pi}{\sqrt{\frac{4}{3}\varepsilon\pi\rho}}$$

Periódou, ktorou teleso kmitá v tuneli, nezávisí od spôsobu jeho vyvftania. \diamond

Podobne ako skalárne polia sme zobrazovali ekviskalárnymi plochami, grafické zobrazenie vektorových polí sa uskutočňuje pomocou tzv. čiar vektora (obr. VIII.14).



obr. VIII.14

Vektor \vec{v} má v každom bode vektorovej čiary smer dotýčnice, ktorá je súhlasne orientovaná s orientáciou vektora¹³. Je preto zrejmé, že pre rovnicu čiary platí¹⁴:

$$d\vec{r} \times \vec{v} = \vec{0} \quad (8.41)$$

¹³Vo fyzike ste sa s nimi už stretli vo forme siločiar, magnetických indukčných čiar, prúdočiar a pod.

¹⁴Vektory $d\vec{r} \parallel \vec{v}$, kde $d\vec{r}$ je súčasťou čiary

Z čoho vyplýva:

$$\frac{dx}{v_x} = \frac{dy}{v_y} = \frac{dz}{v_z} \quad (8.42)$$

Príklad 11 Nájdite tvar siločiar v elektrostatickom poli bodového náboja

Riešenie: Podľa (8.42) ¹⁵ $\frac{dx}{x} = \frac{dy}{y} = \frac{dz}{z}$. Riešením týchto diferenciálnych rovníc sú priamky prechádzajúce začiatkom.. \diamond

Príklad 12 Odvodte vzťah (8.42) na základe hydrodynamickej analógie.

Riešenie: Vektorová čiara má v každom bode smer vektora rýchlosti: $\frac{dx}{dt} = v_x$, $\frac{dy}{dt} = v_y$, $\frac{dz}{dt} = v_z$. Porovnaním dt dostaneme požadovanú rovnicu:

$$dt = \frac{dx}{v_x} = \frac{dy}{v_y} = \frac{dz}{v_z}. \quad \diamond$$

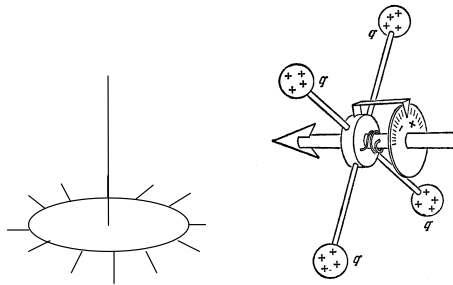
8.1.3 Rotácia vektorových polí

Cirkulácia vektora Pod cirkuláciou vektorového poľa \vec{v} budeme rozumieť integrál po uzavretej krivke Γ

$$L = \oint_{\Gamma} \vec{v} \cdot d\vec{l} \quad (8.43)$$

Vektorový diferenciálny element $d\vec{l}$ má smer dotýčnice ku krivke. Jeho orientácia je daná dohodou o zmysle obchádzania krivky, napr. proti smeru hodinových ručičiek. Cirkulácia bude tým väčšia, čím sa orientácia vektora \vec{v} bude viac blížiti k dotýčnici $d\vec{l}$. Na lepšie pochopenie fyzikálneho zmyslu cirkulácii využijeme opäť hydrodynamicú analógiu. Predstavme si, že integračnou krivkou je kružnica. Nech táto kružnica reprezentuje obvod kolesa (obr. VIII.15a), ktoré má po obvode pripevnené lopatky a môže sa otáčať okolo svojej osi. (na meranie cirkulácie vektora intenzity elektrického poľa, by sme namiesto lopatiek použili malé nabitú guľu, obr. VIII.15b)

¹⁵Vektor intenzity elektrického poľa $\vec{E} = \frac{1}{4\pi\varepsilon_0} \frac{q}{r^3} \vec{r} = \frac{q}{4\pi\varepsilon_0 r^3} (x, y, z)$



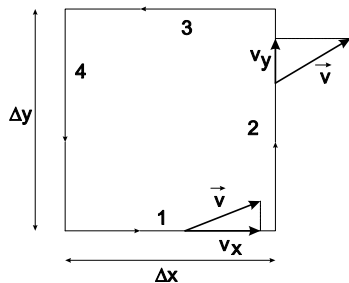
obr. VIII.15a

obr. VIII.15b

Koleso sa po vložení do kvapaliny bude otáčať tým rýchlejšie, čím bude cirkulácia L väčšia. Ak vektor rýchlosti kvapaliny je ľubovoľnom mieste konštantný, koleso sa neroztočí. Ak v kvapaline existuje vír, koleso sa môže otáčať s rôznou uhlovou rýchlosťou, v závislosti od natočenia jeho osi k osi víru. Na skúmanie prítomnosti víru v danom bode kvapaliny zavedieme veličinu-rotáciu :

$$\text{rot } \vec{v} \cdot \vec{n} = \lim_{\Gamma \rightarrow P_0} \frac{\oint_{\Gamma} \vec{v} d\vec{l}}{S_{\Gamma}} \quad (8.44)$$

kde P_0 je bod, okolo ktorého budeme uzatvárať krivku Γ . Polia, pre ktoré nadobudne $\text{rot } \vec{v}$ nenulovú hodnotu, nazveme *vírovými*, ostatné *nevírovými*. Počítať takéto limity je zdĺhavé a nepraktické, preto sa pokúsime určiť ju iným spôsobom. Zoberme elementárnu plošku v tvare obdĺžnika so stranami Δx , Δy rovnobežnými s príslušnými kartézskymi osami (obr. VIII.16).



obr. VIII.16

Vektor \vec{v} sa pozdĺž strán takmer nemení a preto ho možno reprezentovať hodnotou a smerom v ich strede. Príspevky k cirkulácii pozdĺž dvojice rovnobežných strán najskôr pravej a ľavej potom hornej a dolnej budú:

$$\left[v_y \left(x + \Delta x, y + \frac{\Delta y}{2} \right) - v_y \left(x, y + \frac{\Delta y}{2} \right) \right] \Delta y = \frac{\partial v_y}{\partial x} \Delta x \Delta y \quad (8.45)$$

$$\left[-v_x \left(x + \frac{\Delta x}{2}, y + \Delta y \right) + v_x \left(x + \frac{\Delta x}{2}, y \right) \right] \Delta x = -\frac{\partial v_x}{\partial y} \Delta x \Delta y \quad (8.46)$$

a po ich sčítaní:

$$\oint_{\square} \vec{v} \cdot d\vec{l} = \left(\frac{\partial v_y}{\partial x} - \frac{\partial v_x}{\partial y} \right) \Delta x \Delta y \quad (8.47)$$

V zátvorke sa nachádza z -ová zložka vektora $(\vec{\nabla} \times \vec{v})$, pričom súčin $\Delta x \Delta y = dS$. Zavedením jednotkového normálového vektora \vec{n}^z na túto plochu, vzťah (8.47) zapíšeme v invariantnom vektorovom tvare¹⁶:

$$\oint_{\square} \vec{v} d\vec{l} = (\vec{\nabla} \times \vec{v})_z dS = (\vec{\nabla} \times \vec{v}) \cdot \vec{n} dS \quad (8.48)$$

$$\lim_{\Gamma \rightarrow P_0} \frac{\oint_{\Gamma} \vec{v} d\vec{l}}{S_{\Gamma}} = (\vec{\nabla} \times \vec{v}) \cdot \vec{n} \quad (8.49)$$

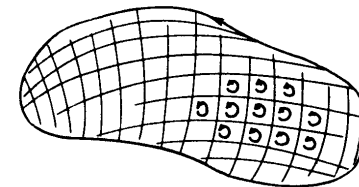
Vzájomným porovnaním (8.48) a (8.44) pre rotáciu platí:

$$\text{rot } \vec{v} = \vec{\nabla} \times \vec{v} \quad (8.50)$$

Posledný vzťah rozpíšme:

$$\begin{aligned} \text{rot } \vec{v} &= \vec{\nabla} \times \vec{v} = \begin{vmatrix} \vec{i} & \vec{j} & \vec{k} \\ \frac{\partial}{\partial x} & \frac{\partial}{\partial y} & \frac{\partial}{\partial z} \\ v_x & v_y & v_z \end{vmatrix} = \\ &= \vec{i} \left[\frac{\partial v_z}{\partial y} - \frac{\partial v_y}{\partial z} \right] - \vec{j} \left[\frac{\partial v_z}{\partial x} - \frac{\partial v_x}{\partial z} \right] + \vec{k} \left[\frac{\partial v_y}{\partial x} - \frac{\partial v_x}{\partial y} \right] \end{aligned}$$

Cirkuláciu po akejkoľvek uzavretej krivke možno uviesť do súvislosti s rotáciou vektorového poľa. Vnútro krivky vyplníme vhodnou plochou a celú ju pokryjeme infinitenzimálnymi obdĺžnikmi (obr. VIII.17).



obr. VIII.17

¹⁶V našom prípade $\vec{n} = \vec{k}$, kde \vec{k} je básový vektor v smere súradnice z .

Pri sčítavaní cirkulácií pozdĺž obvodov malých obdĺžnikov sa rušia príspevky na spoločných hraniciach (integrujeme dvakrát v opačných smeroch)¹⁷:

$$\oint_{\Gamma} \vec{v} \cdot d\vec{l} = \sum \oint_{\square} \vec{v} \cdot d\vec{l} = \sum \text{rot } \vec{v} \cdot d\vec{S}_i = \iint_{S_{\Gamma}} \text{rot } \vec{v} \cdot d\vec{S} \quad (8.51)$$

Vzťah (8.51) sa nazýva *Stokesova veta*, ktorá umožňuje prevádzať krivkový integrál pozdĺž Γ na plošný integrál cez plochu, ohraničenú krivkou Γ . Takýchto plôch existuje nekonečne veľa.

Využitie Stokesovej vety: 1, Výpočet obsahov plôch.

Predpokladajme, že máme vypočítať obsah plochy, ktorá je ohraničená uzavretou krivkou Γ , pričom celá leží v rovine xy . Plošné elementy majú iba z -ovú zložku: $d\vec{S} = (0, 0, dS) = (0, 0, dxdy)$ a podľa (8.51):

$$\oint_{\Gamma} \vec{v} \cdot d\vec{l} = \iint_{S_{\Gamma}} \text{rot } \vec{v} \cdot d\vec{S} = \iint_{S_{\Gamma}} \left(\frac{\partial v_y}{\partial x} - \frac{\partial v_x}{\partial y} \right) dxdy \quad (8.52)$$

Pri vhodnej voľbe vektorovej funkcie \vec{v} , možno z integrantu na pravej strane rovnice (8.52) vytvoriť konštantu a celý integrál previesť na výpočet plochy. Nech $\vec{v} = (-y, x, 0)$, potom dosadením do (8.51):

$$\oint_{\Gamma} (-ydx + xdy) = 2 \iint_{S_{\Gamma}} dxdy \quad (8.53)$$

$$S = \frac{1}{2} \oint_{\Gamma} (-ydx + xdy) \quad (8.54)$$

Príklad 13 Vypočítajte obsah plochy ohraničenej elipsou.

Riešenie: Elipsu parametrizujeme podľa t :

$$x = a \cos t \quad dx = -a \sin t dt \quad (8.55)$$

$$y = b \sin t \quad dy = b \cos t dt \quad (8.56)$$

¹⁷Cirkulácia po Γ_1 /obr/ je súčtom integrálov po Γ_a a Γ_{ab} . Podobne ako cirkulácia po Γ_2 . Integrál po Γ_{ab} bude mať v prípade krivky Γ_1 opačné znamienko ako v prípade Γ_2 , pretože smer obehu bude opačný:

$$\int_{\Gamma_a} \vec{v} d\vec{l} + \int_{\Gamma_{ab}} \vec{v} d\vec{l} + \int_{\Gamma_{ba}} \vec{v} d\vec{l} + \int_{\Gamma_b} \vec{v} d\vec{l} = \oint_{\Gamma} \vec{v} d\vec{l}$$

Po dosadení do (8.54) dostávame:

$$S = \frac{1}{2} \int_0^{2\pi} (ab \sin^2 t + ab \cos^2 t) dt = \pi ab \quad \diamond$$

2, testovanie konzervatívnosti vektorových polí

Pole je konzervatívne, keď práca po ľubovoľnej uzavretej krivke je nulová $\oint_{\Gamma} \vec{F} \cdot d\vec{l} = 0$. Vyjadrením sily podľa rovnice (8.18) a aplikovaním Stokesovej vety:

$$\oint_{\Gamma} \vec{F} \cdot d\vec{l} = \oint_{\Gamma} \text{rot } \vec{F} \cdot d\vec{S} = \oint_{S_{\Gamma}} (\vec{\nabla} \times \vec{F}) \cdot d\vec{S} = 0$$

Keďže uvedený integrál musí byť nulový po akejkoľvek ploche, ktorej kontúrom je Γ potom nutnou a postačujúcou podmienkou konzervatívnych polí je:

$$\vec{\nabla} \times \vec{F} = \text{rot } \vec{F} \equiv \vec{0} \quad (8.57)$$

Príklad 14 Dokážte, že každé sféricky-symetrické centrálné pole je konzervatívne.

Riešenie: Sféricky symetrické centrálné polia sa vyznačujú tým, že sila má rovnaký smer ako polohový vektor a teda platí:

$$\vec{F} = f(r) \vec{r}$$

kde $f(r)$ je funkcia závislá od veľkosti polohového vektora. Keďže

$$\text{rot } \vec{F} = \begin{vmatrix} \vec{i} & \vec{j} & \vec{k} \\ \frac{\partial}{\partial x} & \frac{\partial}{\partial y} & \frac{\partial}{\partial z} \\ f(r)x & f(r)y & f(r)z \end{vmatrix} = \vec{i} \left(\frac{\partial f(r)}{\partial r} \frac{y}{r} z - \frac{\partial f(r)}{\partial r} \frac{z}{r} y \right) + \vec{j} 0 + \vec{k} 0 = \vec{0} \quad (8.58)$$

pole je konzervatívne. \diamond

Príklad 15 Pomocou Gaussovej a Stokesovej vety dokážte tieto identity: $\text{rot } \text{grad } U \equiv \vec{0}$, $\text{div } \text{rot } \vec{F} = 0$

Riešenie: Každé konzervatívne pole dokážeme priradiť potenciálnu energiu U , pričom $\vec{F} = -\text{grad}U$. Dosadením do (8.57) dostávame prvú identitu:

$$\text{rot}\vec{F} = -\text{rot}\text{grad}U \equiv \vec{0}$$

Druhú identitu dokážeme zo Stokesovej vety.

$$\oint_{\Gamma} \vec{F} \cdot d\vec{T} = \int_{S_{\Gamma}} \text{rot}\vec{F} \cdot d\vec{S}$$

Krivka Γ sa postupným uzatváraním scvrkne na bod a plocha S_{Γ} sa stane uzavretou. Krivkový integrál po Γ sa blíži k nule. Podľa Gausovej vety ďalej platí:

$$\oint_{\Gamma} \vec{F} \cdot d\vec{T} = \int_{S_{\Gamma}} \text{rot}\vec{F} \cdot d\vec{S} = \int_{V_S} \nabla \cdot (\nabla \times \vec{F}) dV = 0$$

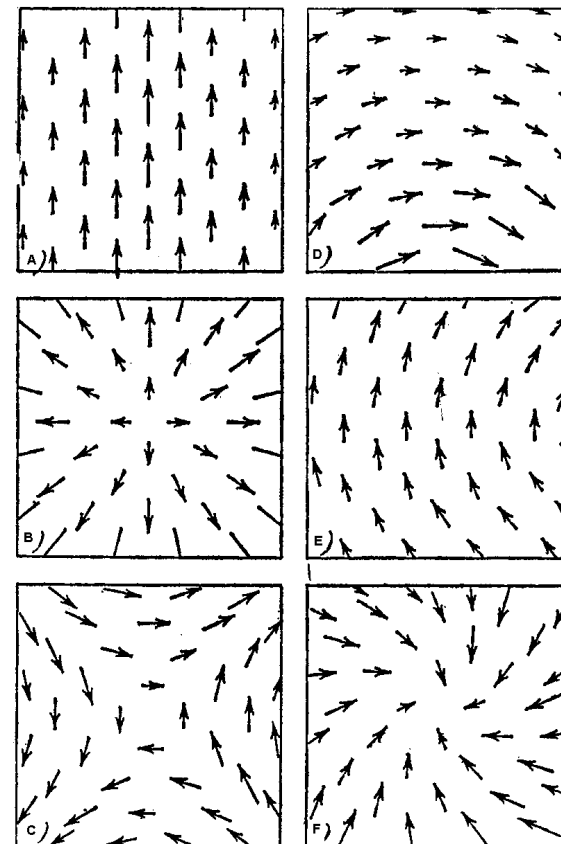
Rovnosť je splnená pre akýkoľvek objem, ktorý prechádza bodom a preto:

$$\nabla \cdot (\nabla \times \vec{F}) = 0 \quad (8.59)$$

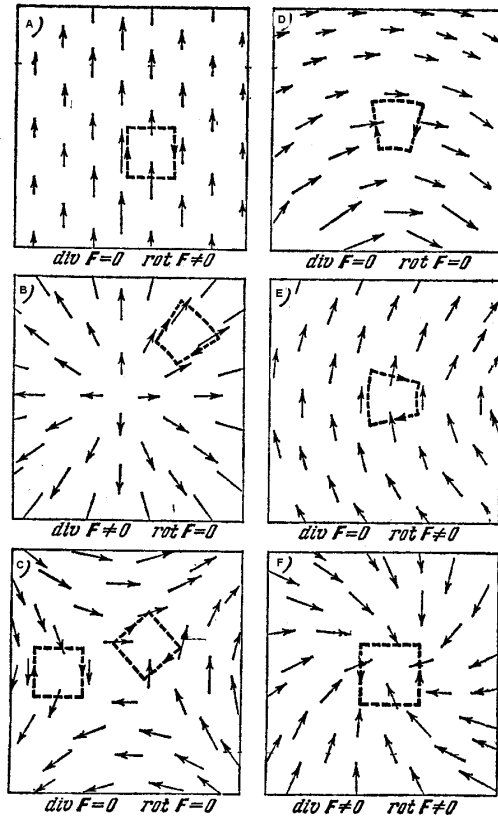
teda $\text{div}\text{rot}\vec{F} = 0$. \diamond

Príklad 16 Divergencia štyroch zo znázornených vektorových polí na obr. 8.1 je rovná nule. Pokúste sa určiť charakteristiky poľa \vec{F} : $\text{rot}\vec{F}$ a $\text{div}\vec{F}$

Riešenie: Riešenie je znázornené na obr. 8.2. **a**, Ak sa pohybujeme v smere vektora \vec{F} , vektor zostáva konštantný $\frac{\partial \vec{F}}{\partial y} = \vec{0}$, $F_x = 0 \implies \text{div}\vec{F} = 0$. Ak určíme cirkuláciu napr. pozdĺž slučky znázornenej na obrázku zistíme, že $\text{rot}\vec{F} \neq \vec{0}$. **b**, Ide o centrálnu pole, vektor \vec{F} je radiálny a jeho veľkosť závisí len od vzdialenosti r . Podľa (8.58) $\text{rot}\vec{F} = \vec{0}$. Jeho divergencia nemôže byť nulová, pretože v strede obrázka sa nachádza zdroj. **c**, Z obrázku sa nedá jednoznačne určiť charakter poľa, ale je možné, že $\text{rot}\vec{F} = \vec{0}$ a $\text{div}\vec{F} = 0$. **d**, Nevidno žiadne žriedlo poľa $\implies \text{div}\vec{F} = 0$. Ide zrejme o pole, ktorého veľkosť vektora \vec{F} klesá so vzdialenosťou $F \sim \frac{1}{r} \implies \text{rot}\vec{F} = \vec{0}$. **e**, nevidno žiadne žriedlo $\implies \text{div}\vec{F} = 0$, je však očividné že cirkulácia vektora \vec{F} cez znázornenú slučku je nenulová $\implies \text{rot}\vec{F} \neq \vec{0}$. **f**, v strede je žriedlo $\implies \text{div}\vec{F} \neq 0$, na prvý pohľad je zrejme že $\text{rot}\vec{F} \neq \vec{0}$ (všimnime si cirkuláciu cez vyznačenú slučku). \diamond



Obrázok 8.1:



Obrázok 8.2:

8.1.4 Divergencie a rotácie v sférických a cylindrických sústavách.

Vo fyzike sa častokrát potrebujeme vyjadriť divergencie a rotácie vektorových polí v iných súradnicových systémoch ako sú kartézske. Vyjadríme preto nabla operátor $\vec{\nabla}$ a vektor \vec{a} v cylindrickom súradnicovom systéme (8.25):

$$\vec{\nabla} = \vec{e}_r \frac{\partial}{\partial r} + \vec{e}_\varphi \frac{1}{r} \frac{\partial}{\partial \varphi} + \vec{e}_z \frac{\partial}{\partial z}$$

$$\vec{a} = a_r \vec{e}_r + a_\varphi \vec{e}_\varphi + a_z \vec{e}_z$$

Dosadením do (8.35) odvodíme vzťah vzťah pre divergenciu:

$$\begin{aligned} \operatorname{div} \vec{a} &= \vec{\nabla} \cdot \vec{a} = \left(\vec{e}_r \frac{\partial}{\partial r} + \vec{e}_\varphi \frac{1}{r} \frac{\partial}{\partial \varphi} + \vec{e}_z \frac{\partial}{\partial z} \right) \cdot (a_r \vec{e}_r + a_\varphi \vec{e}_\varphi + a_z \vec{e}_z) = \\ &= \left(\vec{e}_r \frac{\partial}{\partial r} \right) \cdot (a_r \vec{e}_r) + \left(\vec{e}_r \frac{\partial}{\partial r} \right) \cdot (a_\varphi \vec{e}_\varphi) + \left(\vec{e}_r \frac{\partial}{\partial r} \right) \cdot (a_z \vec{e}_z) + \\ &+ \left(\vec{e}_\varphi \frac{1}{r} \frac{\partial}{\partial \varphi} \right) \cdot (a_r \vec{e}_r) + \left(\vec{e}_\varphi \frac{1}{r} \frac{\partial}{\partial \varphi} \right) \cdot (a_\varphi \vec{e}_\varphi) + \left(\vec{e}_\varphi \frac{1}{r} \frac{\partial}{\partial \varphi} \right) \cdot (a_z \vec{e}_z) + \\ &+ \left(\vec{e}_z \frac{\partial}{\partial z} \right) \cdot (a_r \vec{e}_r) + \left(\vec{e}_z \frac{\partial}{\partial z} \right) \cdot (a_\varphi \vec{e}_\varphi) + \left(\vec{e}_z \frac{\partial}{\partial z} \right) \cdot (a_z \vec{e}_z) \end{aligned} \quad (8.60)$$

Prehľad parciálnych derivácií básových vektorov:

$$\begin{aligned} \vec{e}_r &= \cos \varphi \vec{i} + \sin \varphi \vec{j} \\ \vec{e}_\varphi &= -\sin \varphi \vec{i} + \cos \varphi \vec{j} \\ \vec{e}_z &= \vec{k} \end{aligned}$$

je uvedený v nasledovnej tabuľke:

	\vec{e}_r	\vec{e}_φ	\vec{e}_z
$\frac{\partial}{\partial r}$	0	0	0
$\frac{\partial}{\partial \varphi}$	\vec{e}_φ	$-\vec{e}_r$	0
$\frac{\partial}{\partial z}$	0	0	0

Pomocou nej vypočítame jednotlivé členy rovnice (8.60)¹⁸:

	$a_r \vec{e}_r$	$a_\varphi \vec{e}_\varphi$	$a_z \vec{e}_z$
$\vec{e}_r \frac{\partial}{\partial r}$	$\frac{\partial a_r}{\partial r}$	0	0
$\vec{e}_\varphi \frac{1}{r} \frac{\partial}{\partial \varphi}$	$\frac{a_r}{r}$	$\frac{1}{r} \frac{\partial a_\varphi}{\partial \varphi}$	0
$\vec{e}_z \frac{\partial}{\partial z}$	0	0	$\frac{\partial a_z}{\partial z}$

¹⁸Napr. $(\vec{e}_r \frac{\partial}{\partial r}) \cdot (a_r \vec{e}_r) = \vec{e}_r \cdot \frac{\partial}{\partial r} (a_r \vec{e}_r) = (\frac{\partial}{\partial r} a_r) [\vec{e}_r \cdot \vec{e}_r] + a_r [\vec{e}_r \cdot (\frac{\partial}{\partial r} \vec{e}_r)] = \frac{\partial a_r}{\partial r}$

z čoho pre divergenciu vektora \vec{a} v cylindrických súradniciach dostaneme:

$$\operatorname{div} \vec{a} = \frac{\partial a_r}{\partial r} + \frac{a_r}{r} + \frac{1}{r} \frac{\partial a_\varphi}{\partial \varphi} + \frac{\partial a_z}{\partial z} = \frac{1}{r} \frac{\partial}{\partial r} (r a_r) + \frac{1}{r} \frac{a_\varphi}{\partial \varphi} + \frac{\partial a_z}{\partial z}$$

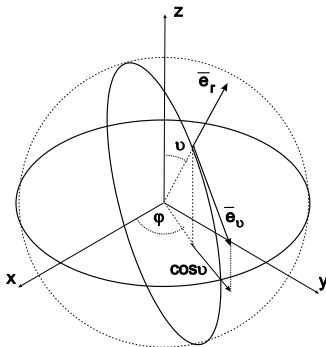
Analogicky postupujeme aj v sférickom súradnicovom systéme:

$$\begin{aligned} \operatorname{div} \vec{a} &= \frac{\partial a_r}{\partial r} + \frac{2}{r} a_r + \frac{1}{r} \frac{\partial a_\vartheta}{\partial \vartheta} + \frac{\cos \vartheta}{r \sin \vartheta} a_\vartheta + \frac{1}{r \sin \vartheta} \frac{\partial a_\varphi}{\partial \varphi} = \\ &= \frac{1}{r^2} \frac{\partial}{\partial r} (r^2 a_r) + \frac{1}{r \sin \vartheta} \frac{\partial}{\partial \vartheta} (\sin \vartheta a_\vartheta) + \frac{1}{r \sin \vartheta} \frac{\partial a_\varphi}{\partial \varphi} \end{aligned} \quad (8.61)$$

Skalárne vynásobíme $\vec{\nabla} = \vec{e}_r \frac{\partial}{\partial r} + \vec{e}_\vartheta \frac{1}{r} \frac{\partial}{\partial \vartheta} + \vec{e}_\varphi \frac{1}{r \sin \vartheta} \frac{\partial}{\partial \varphi}$ s vektorom $\vec{a} = a_r \vec{e}_r + a_\vartheta \vec{e}_\vartheta + a_\varphi \vec{e}_\varphi$:

$$\begin{aligned} \operatorname{div} \vec{a} &= \vec{\nabla} \cdot \vec{a} = \left(\vec{e}_r \frac{\partial}{\partial r} + \vec{e}_\vartheta \frac{1}{r} \frac{\partial}{\partial \vartheta} + \vec{e}_\varphi \frac{1}{r \sin \vartheta} \frac{\partial}{\partial \varphi} \right) \cdot (a_r \vec{e}_r + a_\vartheta \vec{e}_\vartheta + a_\varphi \vec{e}_\varphi) = \\ &= \left(\vec{e}_r \frac{\partial}{\partial r} \right) \cdot (a_r \vec{e}_r) + \left(\vec{e}_r \frac{\partial}{\partial r} \right) \cdot (a_\vartheta \vec{e}_\vartheta) + \left(\vec{e}_r \frac{\partial}{\partial r} \right) \cdot (a_\varphi \vec{e}_\varphi) + \\ &+ \left(\vec{e}_\vartheta \frac{1}{r} \frac{\partial}{\partial \vartheta} \right) \cdot (a_r \vec{e}_r) + \left(\vec{e}_\vartheta \frac{1}{r} \frac{\partial}{\partial \vartheta} \right) \cdot (a_\vartheta \vec{e}_\vartheta) + \left(\vec{e}_\vartheta \frac{1}{r} \frac{\partial}{\partial \vartheta} \right) \cdot (a_\varphi \vec{e}_\varphi) + \\ &+ \left(\vec{e}_\varphi \frac{1}{r \sin \vartheta} \frac{\partial}{\partial \varphi} \right) \cdot (a_r \vec{e}_r) + \left(\vec{e}_\varphi \frac{1}{r \sin \vartheta} \frac{\partial}{\partial \varphi} \right) \cdot (a_\vartheta \vec{e}_\vartheta) + \\ &+ \left(\vec{e}_\varphi \frac{1}{r \sin \vartheta} \frac{\partial}{\partial \varphi} \right) \cdot (a_\varphi \vec{e}_\varphi) \end{aligned} \quad (8.62)$$

Z obrázka VIII.18 sme vyjadrili bázové vektory:



obr. VIII.18

$$\begin{aligned} \vec{e}_r &= \sin \vartheta \cos \varphi \vec{i} + \sin \vartheta \sin \varphi \vec{j} + \cos \vartheta \vec{k} \\ \vec{e}_\vartheta &= \cos \vartheta \cos \varphi \vec{i} + \cos \vartheta \sin \varphi \vec{j} - \sin \vartheta \vec{k} \\ \vec{e}_\varphi &= \sin \varphi \vec{i} + \cos \varphi \vec{j} \end{aligned}$$

ktoré parciálne zderivujeme:

$$\begin{array}{ccc} \vec{e}_r & \vec{e}_\vartheta & \vec{e}_\varphi \\ \frac{\partial}{\partial r} & 0 & 0 \\ \frac{\partial}{\partial \vartheta} & \vec{e}_\vartheta & -\vec{e}_r \\ \frac{\partial}{\partial \varphi} & \sin \vartheta \vec{e}_\varphi & -\cos \vartheta \vec{e}_\varphi - \sin \vartheta \vec{e}_r - \cos \vartheta \vec{e}_\varphi \\ & a_r \vec{e}_r & a_\varphi \vec{e}_\varphi & a_z \vec{e}_z \\ \vec{e}_r \frac{\partial}{\partial r} & \frac{\partial a_r}{\partial r} & 0 & 0 \\ \vec{e}_\vartheta \frac{1}{r} \frac{\partial}{\partial \vartheta} & \frac{a_r}{r} & \frac{1}{r} \frac{\partial a_\vartheta}{\partial \vartheta} & 0 \\ \vec{e}_\varphi \frac{1}{r \sin \vartheta} \frac{\partial}{\partial \varphi} & \frac{a_r}{r} & \frac{\cos \vartheta}{r \sin \vartheta} a_\vartheta & \frac{1}{r \sin \vartheta} \frac{\partial a_\varphi}{\partial \varphi} \end{array}$$

a dosadili.

Po nahradení skalárneho súčinu v (8.35) vypočítame rotáciu. V cylindrickej súradnicovej sústave zrejme platí:

$$\begin{aligned} \operatorname{rot} \vec{a} &= \left(\vec{e}_r \frac{\partial}{\partial r} + \vec{e}_\vartheta \frac{1}{r} \frac{\partial}{\partial \vartheta} + \vec{e}_z \frac{\partial}{\partial z} \right) \times (a_r \vec{e}_r + a_\varphi \vec{e}_\varphi + a_z \vec{e}_z) = \\ &= \vec{e}_r \frac{\partial}{\partial r} \times (a_r \vec{e}_r + a_\varphi \vec{e}_\varphi + a_z \vec{e}_z) + \\ &+ \vec{e}_\vartheta \times \frac{1}{r} \frac{\partial}{\partial \vartheta} (a_r \vec{e}_r + a_\varphi \vec{e}_\varphi + a_z \vec{e}_z) \\ &+ \vec{e}_z \times \frac{\partial}{\partial z} (a_r \vec{e}_r + a_\varphi \vec{e}_\varphi + a_z \vec{e}_z) \end{aligned}$$

Využitím vlastností vektorového súčinu a horeuvedených prehľadných tabuliek:

$$\operatorname{rot} \vec{a} = \left(\frac{1}{r} \frac{\partial a_z}{\partial \varphi} - \frac{\partial a_\varphi}{\partial z} \right) \vec{e}_r + \left(\frac{\partial a_r}{\partial z} - \frac{\partial a_z}{\partial r} \right) \vec{e}_\vartheta + \left(\frac{a_\varphi}{\partial r} - \frac{1}{r} \frac{\partial a_r}{\partial \varphi} + \frac{1}{r} a_\varphi \right) \vec{e}_z$$

Podobne vo sférických súradniciach¹⁹ pre rotáciu platí:

$$\begin{aligned} \operatorname{rot} \vec{a} &= \left(\frac{1}{r} \frac{\partial a_\varphi}{\partial \vartheta} - \frac{1}{r \sin \vartheta} \frac{\partial a_\vartheta}{\partial \varphi} + \frac{\cos \vartheta}{r \sin \vartheta} a_\varphi \right) \vec{e}_r + \\ &+ \left(\frac{1}{r \sin \vartheta} \frac{\partial a_r}{\partial \varphi} - \frac{\partial a_\varphi}{\partial r} - \frac{1}{r} a_\varphi \right) \vec{e}_\vartheta + \\ &+ \left(\frac{\partial a_\vartheta}{\partial r} - \frac{1}{r} \frac{\partial a_r}{\partial \vartheta} + \frac{1}{r} a_\vartheta \right) \vec{e}_\varphi \end{aligned}$$

¹⁹Doporučujeme čitateľovi toto tvrdenie dokázať.

8.2 Cvičenia

8.1.* Určte divergenciu a rotáciu nasledovných vektorových polí. Ak je pole konzervatívne, nájdite jeho potenciál: $\vec{F} = (x + y, -x + y, -2z)$, $\vec{E} = (2y, 2x + 3z, 3y)$.

Riešenie: $0; \vec{0}$, $U = -2xy - 3zy - \text{konšt}$

8.2.] Majme silové polia s nasledovnými potenciálmi: r , $\frac{1}{r^3}$, $\vec{c} \cdot \vec{r}$, $\frac{\vec{c} \cdot \vec{r}}{r^2}$, $\frac{\vec{c} \cdot \vec{r}}{r^3}$, kde \vec{c} je konštantný vektor. Nájdite sily, ktoré v nich pôsobia!

Riešenie: $-\frac{\vec{r}}{r}$, $-\frac{3\vec{r}}{r^5}$, $-\vec{c}$, $-\frac{r^2\vec{c} - (\vec{c} \cdot \vec{r})2\vec{r}}{r^4}$, $-\frac{r^2\vec{c} - 3(\vec{c} \cdot \vec{r})\vec{r}}{r^5}$

8.3.] Určte divergenciu nasledovných polí: \vec{r} , $\frac{\vec{r}}{r^3}$, $\frac{\vec{c}}{r}$

Riešenie: $3, 0, -\frac{\vec{c} \cdot \vec{r}}{r^3}$

8.4.* Potenciálna energia častice má tvar $U = \frac{\alpha}{r} + \frac{1}{2}kr^2$, kde r je veľkosť polohového vektora. Nájdite silu, ktorá pôsobí na časticu a vypočítajte prácu, ktorú vykoná pri premiestnení telesa z bodu $(1, 2, 3)$ do bodu $(2, 2, 3)$.

Riešenie: a, $\vec{F} = \frac{\alpha}{r^2}\vec{r}$, $A = 0.82\alpha$ b, $\vec{F} = -k\vec{r}$, $A = -1.5k$

8.5.* Teleso sa kĺže z výšky h z podložky tvaru $y = \sqrt{x}$. V ktorom bode sa odtrhne od podložky?